

Nesta aula estudaremos métodos para resolver problemas de otimização envolvendo campos escalares bidimensionais, ou seja,

$$f: D \subseteq \mathbb{R}^2 \xrightarrow{\mathbb{R}^2} \mathbb{R}$$

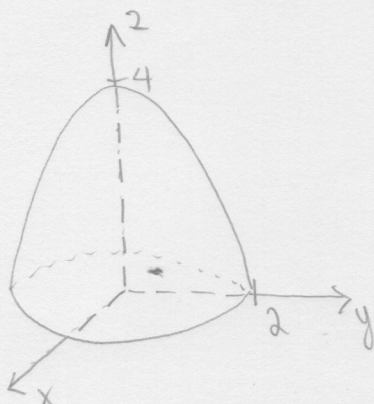
Tais problemas surgem em inúmeros contextos da física, da química e das diversas engenharias e, em geral, envolvem a determinação de um valor máximo ou mínimo para um campo escalar bidimensional que modela alguma grandeza de interesse.

Definição 11.1: "Seja $f: D \subseteq \mathbb{R}^2 \rightarrow \mathbb{R}$ dizemos que o ponto $\mathbf{x}_0 = (x_0, y_0) \in D$ é um máximo absoluto ou global se $f(\mathbf{x}) \leq f(\mathbf{x}_0)$, $\forall \mathbf{x} \in D$. Similarmente, dizemos que $\mathbf{x}_0 \in D$ é um mínimo absoluto ou global se $f(\mathbf{x}) \geq f(\mathbf{x}_0)$, $\forall \mathbf{x} \in D$. Um ponto de máximo ou mínimo global é dito um extremo global."

Exemplo 11.2: "Seja $f: \mathbb{R}^2 \rightarrow \mathbb{R}$, $(x, y) \mapsto f(x, y) = 4 - x^2 - y^2$.

Determine os pontos de máximo e mínimo globais.

Solução: $z = f(x, y)$ representa o seguinte parabóloide elíptico:



que possui um máximo global em $\mathbf{x} = (0, 0)$, pois

$$f(\mathbf{x}) - f(0) = 4 - x^2 - y^2 - 4 = -\|\mathbf{x}\|^2 \leq 0$$

$\forall \mathbf{x} \in \mathbb{R}^2$ Por outro lado f não possui mínimo global pois

II - 2

$$f(\mathbf{x}) = 4 - \|\mathbf{x}\|^2 < -\|\mathbf{x}\|^2 \xrightarrow{\|\mathbf{x}\| \rightarrow \infty} -\infty$$

Definição II.3: "Seja $f: D \subseteq \mathbb{R}^2 \rightarrow \mathbb{R}$ dizemos que:

- (a) $\mathbf{x}_0 \in D$ é um máximo relativo ou local se existir uma bola aberta $B(\mathbf{x}_0, r)$, $r \in \mathbb{R}_+$ tal que $f(\mathbf{x}) \leq f(\mathbf{x}_0)$,

$$\forall \mathbf{x} \in B(\mathbf{x}_0, r)$$

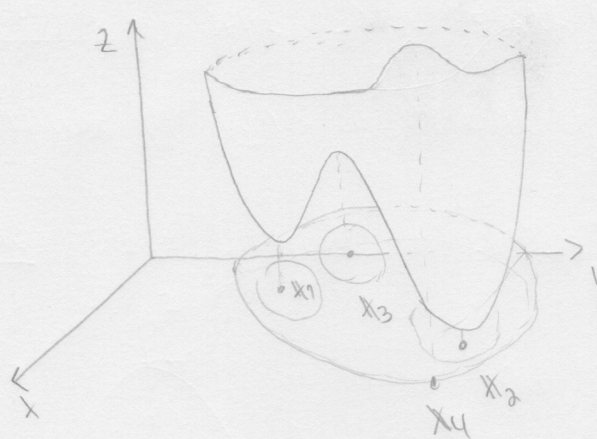
- (b) $\mathbf{x}_0 \in D$ é um mínimo relativo ou local se existir uma bola aberta $B(\mathbf{x}_0, r)$, $r \in \mathbb{R}_+$ tal que $f(\mathbf{x}) \geq f(\mathbf{x}_0)$

$$\forall \mathbf{x} \in B(\mathbf{x}_0, r)$$

Um ponto de máximo ou mínimo local é dito um extremo local."

Exemplo II.4: "O campo escalar $f: D \subseteq \mathbb{R}^2 \rightarrow \mathbb{R}$ cujo gráfico está esboçado abaixo, possui mínimos locais nos pontos \mathbf{x}_1 e \mathbf{x}_2 e

um máximo local em \mathbf{x}_3 . Note



também que \mathbf{x}_2 é um mínimo

global e \mathbf{x}_4 é um máximo

global. É importante ressaltar que

\mathbf{x}_4 não é um máximo local, pois pertence à borda de D , i.e., $\mathbf{x}_4 \notin D$ de forma que não existe nenhuma bola aberta unida em \mathbf{x}_4 interseccional

contida em D ."

II - 3

Claramente, determinar os máximos e mínimos locais e globais por inspeção como fizemos nos exemplos anteriores é uma tarefa possivelmente complicada e de certa trabalhosidade. Podemos, contudo, assim como no cálculo de função de uma variável desenvolver métodos mais práticos para a determinação de tais pontos extremos.

Definição II. 5 : "Seja $f: D \subset \mathbb{R}^2 \rightarrow \mathbb{R}$ diferenciável em um ponto interior $\mathbf{x}_0 \in D$, dizemos que \mathbf{x}_0 é um ponto vício ou estacionário de f se $\nabla f(\mathbf{x}_0) = \mathbf{0}$."

Exemplo II . 6 : "Verifique se a origem é um ponto vício das funções:

$$(a) f(\mathbf{x}) = \|\mathbf{x}\|^2, \quad (b) g(\mathbf{x}) = \|\mathbf{x}\|$$

Solução : (a) Como vimos anteriormente $f(\mathbf{x}) = \|\mathbf{x}\|^2$ é uma função diferenciável cujo gradiente é

$$\nabla f = \partial_x(x^2 + y^2) \mathbf{e}_1 + \partial_y(x^2 + y^2) \mathbf{e}_2 = 2(x, y)$$

$$\Rightarrow \nabla f(0,0) = 2(0,0) = \mathbf{0}$$

Logo, a origem é um ponto vício de f .

(b) Já a função $g(x) = \|x\| = \sqrt{x^2+y^2}$ não é diferenciável na origem, pois suas derivadas parciais

LII - 4

$$\partial_x g = \frac{x}{\sqrt{x^2+y^2}}, \quad \partial_y g = \frac{y}{\sqrt{x^2+y^2}}$$

não são contínuas em $x=0$. Portanto, a origem não é um ponto vício de g .

Geometricamente, podemos visualizar os pontos vícios de um campo escalar bidimensional $f: D \subseteq \mathbb{R}^2 \rightarrow \mathbb{R}$, como os pontos nos quais o gráfico de f , i.e.

$$\text{graf}(f) = \{x \in \mathbb{R}^3 \mid x = (x, y, f(x, y)), \forall (x, y) \in D\}$$

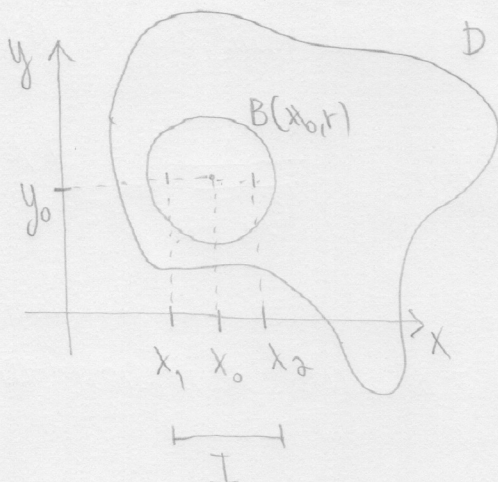
possui um plano tangente horizontal, ou seja, paralelo ao plano $\hat{O}xy$.

O teorema que enunciaremos a seguir estabelece uma condição necessária para que um ponto interior seja um extremo local de um campo escalar bidimensional.

Teorema II. 7: "Seja $f: D \subseteq \mathbb{R}^2 \rightarrow \mathbb{R}$ diferenciável, se $x_0 \in D$ for um extremo local então x_0 é um ponto vício de f ".

Demonstração: Suponhamos sem perda de generalidade (por quê?) que x_0 é um máximo local de f . Como x_0 é um ponto interior de D , existe um $r \in \mathbb{R}_+$ tal que a bola aberta $B(x_0, r) \subset D$

na qual $f(\mathbf{x}) \leq f(\mathbf{x}_0)$.



Sejam $x_1, x_2 \in \mathbb{R}$ tais que $x_1 < x_0 < x_2$ e $(x_1, y_0), (x_2, y_0) \in B(x_0, r)$

e defina uma função

$$g: (x_1, x_2) \subseteq \mathbb{R} \rightarrow \mathbb{R}, \quad x \mapsto g(x) = f(x, y_0)$$

Como f é diferenciável em D , temos que existe

$$g'(x) = \partial_x f(x, y_0), \quad \forall x \in (x_1, x_2)$$

i.e., g é diferenciável no aberto (x_1, x_2) e em particular no ponto x_0 .

Naturalmente, x_0 é um ponto interno (x_1, x_2) e um máximo local de g .

$$\text{Então } g'(x_0) = 0 \Leftrightarrow \partial_x f(x_0, y_0) = 0$$

Um argumento similar permite demonstrar que $\partial_y f(x_0, y_0) = 0$ (Exercício!)

Portanto, temos que

$$\nabla f(\mathbf{x}_0) = (\partial_x f(\mathbf{x}_0), \partial_y f(\mathbf{x}_0)) = \mathbf{0}$$

de forma que \mathbf{x}_0 é um ponto ótimo de f . \square

Exemplo 11.8: "Determina os pontos críticos de $f(x,y) = x^3 + y^3 - 3x - 3y + 1$ ". 11 - 6

Solução: Claramente f é diferenciável, logo precisamos apenas resolver o sistema $\nabla f(x) = 0$ para identificar os pontos críticos:

$$\begin{cases} \partial_x f = 3x^2 - 3 = 0 \\ \partial_y f = 3y^2 - 3 = 0 \end{cases} \sim \begin{cases} x^2 = 1 \\ y^2 = 1 \end{cases} \sim \begin{cases} x = \pm 1 \\ y = \pm 1 \end{cases}$$

Logo, há quatro pontos críticos de f :

$$(1,1), (1,-1), (-1,1), (-1,-1)$$

É importante ressaltar que o teorema 11.7 só se aplica a pontos no interior do domínio de f , de forma que um ponto na fronteira do domínio de f pode ser um extremo local mesmo que seu gradiente se anule. Por exemplo, seja

$$f: D = \{x \in \mathbb{R}^2 \mid x \geq 0, y \geq 0\} \rightarrow \mathbb{R}$$

$$(x,y) \mapsto f(x,y) = x^2y + 3x$$

Claramente, a origem é um mínimo de f em D , pois

$$f(x,y) \geq f(0,0), \quad \forall x \in A$$

então,

$$\nabla f = (2x+3, x^2) \Big|_{x=0} = (3, 0) \neq 0.$$

Note, entretanto, que pelo fato de $\emptyset \in \partial A$ não há nenhuma contradição com o teorema II.7.

O exemplo que acabamos de considerar ilustra que ao procurarmos por extremantes alim dos pontos v\'itios devemos considerar os pontos da fronteira do dom\'inio do campo escalar em quest\~ao.

Al\'em de fornecer uma condi\c{c}\~ao necess\'aria para que um ponto interno do dom\'inio de um campo escalar seja um extremo, o teorema II.7 tamb\'em sugere que existem pontos v\'itios que n\'ao s\~ao extremos.

Defini\c{c}\~ao II.9: "Seja $f: D \subseteq \mathbb{R}^2 \rightarrow \mathbb{R}$, diferenci\'avel, um ponto v\'itio $x_0 \in D$ \'e dito um ponto de sela se qualquer bola aberta $B(x_0, r)$ contiver pontos x_+ tais que $f(x_+) > f(x_0)$ e pontos x_- tais que $f(x_-) < f(x_0)$."

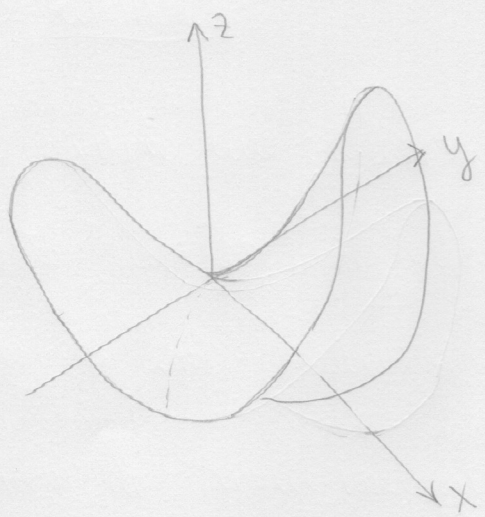
Exemplo II.10: "Estude os pontos v\'itios do campo escalar $f: \mathbb{R}^2 \rightarrow \mathbb{R}$ $(x,y) \mapsto f(x,y) = xy$.

Solução: Como f é diferenciável $\forall \mathbf{x} \in \mathbb{R}^2$, basta estudarmos o sistema $\nabla f = (y, x) = \mathbf{0}$ para determinarmos seus pontos críticos.

Claramente, a única solução de tal sistema é $\mathbf{x} = \mathbf{0}$.

Geometricamente, temos que a superfície $z = f(x,y) = xy$ é um parabolóide hiperbólico, de forma que a origem não é nem um

máximo nem um mínimo local.



De fato, para pontos no 1º e no 3º quadrante, i.e., $\mathbf{x} \in \mathbb{R}^2 \setminus x \cdot y > 0$,

temos que $f(x,y) > 0 = f(0,0)$,

ao passo que para pontos no 2º e 4º quadrante, i.e., $\mathbf{x} \in \mathbb{R}^2 \setminus x \cdot y < 0$, temos que $f(x,y) < 0 = f(0,0)$

Consequentemente, para qualquer vizinhança da origem existem pontos \mathbf{x}_+ tais que $f(\mathbf{x}_+) > f(0)$ e pontos \mathbf{x}_- tais que $f(\mathbf{x}_-) < f(0)$.

Logo, a origem é um ponto de sela. "

O próximo teorema fornece condições numéricas para que um ponto interno seja um máximo ou um mínimo local.

Teorema II.11: "Seja $f: D \subseteq \mathbb{R}^2 \xrightarrow{\mathcal{C}^2} \mathbb{R}$ e considere um ponto interior $x_0 \in D$,

11-9

(a) Se x_0 for um máximo local de f então $\partial_x^2 f(x_0) \leq 0$ e $\partial_y^2 f(x_0) \leq 0$;

(b) Se x_0 for um mínimo local de f então $\partial_x^2 f(x_0) \geq 0$ e $\partial_y^2 f(x_0) \geq 0$."

Demonstração:

(a) Defina, como na demonstração do teorema I.7 uma função

$$g: (x_1, x_2) \rightarrow \mathbb{R}, \quad x \mapsto g(x) = f(x, y_0)$$

onde $x_1 < x_0 < x_2$ e $(x_1, y_0), (x_2, y_0) \in B(x_0, r) \subset D$

Das hipóteses sobre f , segue que x_0 é um ponto do interior do domínio de g e além disso, é um máximo local de g . Como g também é de classe C^2 , temos necessariamente que:

$$g'(x_0) = 0 \quad \text{e} \quad g''(x_0) \leq 0 \quad \Rightarrow \quad \partial_x^2 f(x_0, y_0) \leq 0.$$

Similarmente, podemos definir a função:

$$h: (y_1, y_2) \rightarrow \mathbb{R}, \quad y \mapsto h(y) = f(x_0, y)$$

onde $y_1 < y_0 < y_2$ e $(x_0, y_1), (x_0, y_2) \in B(x_0, r) \subset D$

que satisfaçõe:

$$h'(y_0) = 0 \quad \text{e} \quad h''(y_0) \leq 0 \quad \Rightarrow \quad \partial_y^2 f(x_0, y_0) \leq 0$$

(b) Exercício!

Exemplo II.12: "Determinar quais dos pontos v\'itios da fun\~ao do

II - 10

exemplo II.8 n\~ao candidatos a m\'aximos e m\'inimos locais.

Solu\~ao: precisamos avaliar as derivadas $\partial_x^2 f$ e $\partial_y^2 f$ com

$$f(x,y) = x^3 + y^3 - 3x - 3y + 4$$

nos pontos: $(1,1)$, $(1,-1)$, $(-1,1)$ e $(-1,-1)$. Como

$$\partial_x^2 f = 6x \quad \text{e} \quad \partial_y^2 f = 6y$$

temos que

$$(*) \quad (1,1) \Rightarrow \partial_x^2 f = 6 \geq 0 \quad \text{e} \quad \partial_y^2 f = 6 \geq 0$$

\Rightarrow poss\'ivel ponto de m\'inimo local

$$(*) \quad (1,-1) \Rightarrow \partial_x^2 f = 6 \geq 0 \quad \text{e} \quad \partial_y^2 f = -6 \leq 0$$

\Rightarrow n\~ao \'e extremo local (ponto de sela)

$$(*) \quad (-1,1) \Rightarrow \partial_x^2 f = -6 \leq 0 \quad \text{e} \quad \partial_y^2 f = 6 \geq 0$$

\Rightarrow n\~ao \'e extremo local (ponto de sela)

$$(*) \quad (-1,-1) \Rightarrow \partial_x^2 f = -6 \leq 0 \quad \text{e} \quad \partial_y^2 f = -6 \leq 0$$

\Rightarrow poss\'ivel ponto de m\'aximo. "

A seguir enunciaremos um teorema que fornece condição suficiente

II - 11

para que um ponto crítico seja um extremo local.

Teorema II.13: "Sejam $f: D \subseteq \mathbb{R}^2 \xrightarrow{C^2} \mathbb{R}$ e $x_0 = (x_0, y_0) \in D$ um ponto crítico. Denote por

$$H(x, y) = \det \begin{bmatrix} \frac{\partial^2}{\partial x^2} f(x, y) & \frac{\partial^2}{\partial x \partial y} f(x, y) \\ \frac{\partial^2}{\partial x \partial y} f(x, y) & \frac{\partial^2}{\partial y^2} f(x, y) \end{bmatrix}$$

o hessiano de f . Assim:

- Se $H(x_0) > 0$ e $\frac{\partial^2}{\partial x^2} f(x_0) > 0$, então x_0 é um mínimo local de f ;
- Se $H(x_0) > 0$ e $\frac{\partial^2}{\partial x^2} f(x_0) < 0$, então x_0 é um máximo local de f ;
- Se $H(x_0) < 0$, então x_0 é um ponto de sela;
- Se $H(x_0) = 0$, nada se pode afirmar."

A demonstração completa deste teorema está além das pretensões deste curso. Contudo, podemos, com uma argumentação geométrica que ilustra os idéias principais envolvidas na demonstração.

A ideia fundamental da demonstração surge da constatação de que parabolóides elípticos e hiperbólicos (veja exemplos II.2 e II.10) constituem exemplos significativamente simples de pontos de máximos ou mínimos e pontos de sela. Assim, procura-se o parabolóide que melhor aproxima o

gráfico do campo escalar bidimensional na vizinhança do ponto vício L11 - 12

\mathbf{x}_0 , a partir do comportamento das derivadas de segunda ordem do campo escalar em questão.

Um parabolóide "genérico" é descrito pela seguinte forma quadrática:

$$P(\mathbf{x}) = \frac{A}{2}x^2 + Bxy + \frac{C}{2}y^2 + Dx + Fy + G$$

que depende de 6 parâmetros. Logo, para determiná-lo precisamos de 6 equações. A primeira, vem naturalmente da constatação de que o parabolóide e o campo escalar devem coincidir no ponto vício, i.e.

$$(1) \quad P(\mathbf{x}_0) = f(\mathbf{x}_0)$$

Outras duas condições surgem ao demandarmos que o parabolóide e o gráfico de f tenham o mesmo plano tangente em \mathbf{x}_0 .

$$\nabla P(\mathbf{x}_0) = \nabla f(\mathbf{x}_0) \Rightarrow \left\{ \begin{array}{l} (2) \quad \partial_x P(\mathbf{x}_0) = \partial_x f(\mathbf{x}_0) \\ (3) \quad \partial_y P(\mathbf{x}_0) = \partial_y f(\mathbf{x}_0) \end{array} \right.$$

As demais três equações surgem ao demandarmos que tal aproximação parabólica devavar o campo f suficientemente bem numa vizinhança do plano tangente em \mathbf{x}_0 , permitindo assim determinarmos a natureza do ponto vício.

Quais as condições:

$$(4) \quad \partial_x^2 P(x_0) = \partial_x^2 f(x_0)$$

$$(5) \quad \partial_y^2 P(y_0) = \partial_y^2 f(y_0)$$

$$(6) \quad \partial_x \partial_y P(x_0) = \partial_x \partial_y f(x_0)$$

Não suficientes para garantir tal resultado é o passo não trivial da demonstração.

Note que não precisamos demandar que

$$\partial_y \partial_x P(x_0) = \partial_y \partial_x f(x_0)$$

pois como f é de classe C^2 satisfaz as hipóteses do teorema de Schwarz.

Assim, o sistema

$$\left\{ \begin{array}{l} \frac{A}{2}x_0^2 + Bx_0y_0 + \frac{C}{2}y_0^2 + Dx_0 + Fy_0 + G = f(x_0) \\ Ax_0 + By_0 + D = \partial_x f(x_0) \\ Bx_0 + Cy_0 + F = \partial_y f(x_0) \\ A = \partial_x^2 f(x_0) \\ C = \partial_y^2 f(x_0) \\ B = \partial_x \partial_y f(x_0) \end{array} \right.$$

determina o parabolóide que melhor aproxima o gráfico do campo escalar.

Agora para determinar o tipo do parabolóide, olhamos para as curvas de nível:

$$\frac{A}{2}x^2 + Bxy + \frac{C}{2}y^2 + Dx + Fy + G = \text{constante} \quad (*)$$

Da geometria analítica sabemos que (*) representa uma:

(i) Hiperbole, se $B^2 - 4\left(\frac{A}{2}\right) \cdot \left(\frac{C}{2}\right) = B^2 - AC > 0$

(ii) Elipse, se $B^2 - AC < 0$

(iii) Parábola, se $B^2 - AC = 0$

Consequentemente,

(a) Se $B^2 - AC < 0$, $A > 0$ e $C > 0$, as curvas de nível são elipses, e o gráfico de $P(x)$ é um parabolóide elíptico com concavidade para cima. Logo, f tem um mínimo local em x_0 .

(b) Se $B^2 - AC < 0$, $A < 0$ e $B < 0$, as curvas de nível são elipses, e

o gráfico de $P(x)$ é um parabolóide elíptico com concavidade para baixo.

Logo, f tem um máximo local em x_0 .

(c) Se $B^2 - AC > 0$, as curvas de nível são hiperbolas, e o gráfico de $P(x)$ é um parabolóide hiperbólico. Logo, f tem um ponto de sela em x_0 .

(d) Se $B^2 - AC = 0$, as curvas de nível de $P(x)$ não são parábolas, e

o gráfico de $P(x)$ é um cilindro parabólico. Logo, nada pode ser concluído.

11-15

Exemplo 11-14: "Classificar os pontos críticos da função $f(x) = x^3 + y^3 - 3(x+y) - 4$ ".

Solução: Precisamos avaliar o Hessiano nos pontos: $(1,1), (1,-1), (-1,1), (-1,-1)$.

Como:

$$H(x,y) = \det \begin{pmatrix} \frac{\partial^2 f}{\partial x^2} & \frac{\partial^2 f}{\partial x \partial y} \\ \frac{\partial^2 f}{\partial x \partial y} & \frac{\partial^2 f}{\partial y^2} \end{pmatrix} = \det \begin{pmatrix} 6x & 0 \\ 0 & 6y \end{pmatrix} = 36xy$$

(*) $(1,1)$ $\Rightarrow H(1,1) = 36 > 0, \quad \frac{\partial^2 f}{\partial x^2}(1,1) = 6 > 0$

$\Rightarrow (1,1)$ é um mínimo local

(*) $(1,-1)$ $\Rightarrow H(1,-1) = -36 < 0 \Rightarrow (1,-1)$ é um ponto de sela

(*) $(-1,1)$ $\Rightarrow H(-1,1) = -36 < 0 \Rightarrow (-1,1)$ é um ponto de sela

(*) $(-1,-1)$ $\Rightarrow H(-1,-1) = 36 > 0, \quad \frac{\partial^2 f}{\partial x^2}(-1,-1) = -6 < 0$

$\Rightarrow (-1,-1)$ é um máximo local."

Até agora estudamos condições necessárias e suficientes para que um ponto interior do domínio de um campo escalar bidimensional seja um extremo local. Entretanto, em muitos problemas práticos já não encontrar os extremos de um subconjunto, muitas vezes fechado, do domínio

do campo escalar em questão. É neste contexto que o teorema de

II - 16

Weierstraß garante a existência de extremos para toda função contínua em um conjunto compacto.

Definição II.15: "Seja $S \subseteq \mathbb{R}^n$, dizemos que S é compacto se for fechado e limitado."

Lembramos que S é um conjunto fechado se o seu complementar, i.e., $\mathbb{R}^n \setminus S$, for aberto e que S é um conjunto limitado se estiver contido em alguma bola aberta da origem.

Exemplo II.16: "Toda bola fechada de centro x_0 e raio $r > 0$

$$\bar{B}(x_0, r) = \{x \in \mathbb{R}^n \mid \|x - x_0\| \leq r\}$$

é um conjunto compacto, pois é fechado e limitado."

Com isso podemos anunciar o teorema de Weierstraß cuja demonstração está fora do escopo deste curso, podendo ser encontrada em livros de análise real.

Teorema II.17: "Seja $f: D \subseteq \mathbb{R}^n \xrightarrow{f^0} \mathbb{R}$, se $S \subseteq D$ for compacto então

existem $x_1, x_2 \in S$ tais que $f(x_1) \leq f(x) \leq f(x_2)$, $\forall x \in S$."

Assim, se $f: S \subseteq \mathbb{R}^2 \xrightarrow{f^2} \mathbb{R}$ onde S é algum compacto, o

teorema de Weierstraß garante que existem $x_1, x_2 \in S$ tais que

$f(x_1)$ é o valor mínimo e $f(x_2)$ é o valor máximo de f em S. L11-17

Resta-nos o problema de determinar tais pontos. Sabemos que dentre os pontos interiores, apenas os vértices, podem ser extremos. De forma que nossa primeira tarefa consiste em identificar tais pontos vértices no interior de S , e determinar sua natureza. A seguir procuraremos pelos máximos e mínimos sobre a borda de S . Comparando os valores dos pontos assim obtidos tanto no interior quanto na fronteira de S determinaremos os pontos máximos e mínimos de f em S .

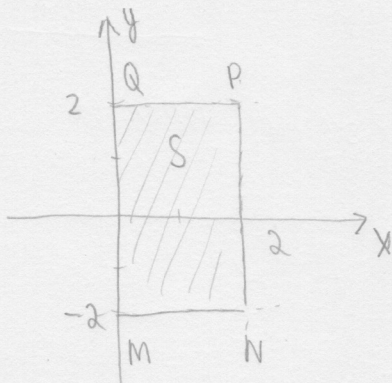
Exemplo 11.18: Determine os extremos de $f(x) = x^3 + y^3 - 3(x+y)$ em

$$S = \{x \in \mathbb{R}^2 \mid x \in [0,2] \text{ e } |y| \leq 2\}.$$

Solução: Dos exemplos anteriores sabemos que os pontos vértices de f em \mathbb{R}^2 não são $(1,1), (1,-1), (-1,1), (-1,-1)$, visto que apenas $(1,1), (1,-1)$ estão em S .

Além disso, sabemos que $(1,1)$ é um mínimo local e $(1,-1)$ é um ponto de sela. Em particular, $f(1,1) = -4$.

Analisemos os pontos da fronteira: Para tanto precisamos considerar



as quatro funções definidas pelas restrições de f nos segmentos \overline{QP} , \overline{PN} , \overline{MN} e \overline{QN} .

(1) \overline{QP} : $g_1(x) = f(x, 2) = x^3 - 3x + 2$,
 $x \in [0, 2]$

$$g_1'(x) = 3x^2 - 3, \quad g_1'(x) = 0 \Leftrightarrow x = \pm 1, \quad -1 \notin [0,2] \quad |11-18$$

$$g_1''(x) = 6x \Rightarrow g_1''(1) = 6 > 0 \Rightarrow f(1,2) = 0 \text{ é um mínimo}$$

$$(2) \quad \overline{MN} : g_2(x) = f(x,-2) = x^3 - 3x - 2, \quad x \in [0,2]$$

$$g_2'(x) = 3x^2 - 3 = 0 \Leftrightarrow x = \pm 1, \quad -1 \notin [0,2]$$

$$g_2''(x) = 6x \Rightarrow g_2''(1) = 6 > 0 \Rightarrow f(1,-2) = -4 \text{ é um mínimo}$$

$$(3) \quad \overline{QM} : g_3(y) = f(0,y) = y^3 - 3y, \quad y \in [-2,2]$$

$$g_3'(y) = 3y^2 - 3 = 0 \Leftrightarrow y = \pm 1$$

$$g_3''(y) = 6y \Rightarrow \begin{cases} g_3''(1) = 6 > 0 \Rightarrow f(0,1) = -2 \text{ é um mínimo} \\ g_3''(-1) = -6 < 0 \Rightarrow f(0,-1) = 2 \text{ é um máximo} \end{cases}$$

$$(4) \quad \overline{PN} : g_4(y) = f(2,y) = y^3 - 3y + 2, \quad y \in [-2,2]$$

$$g_4'(y) = 3y^2 - 3 = 0 \Leftrightarrow y = \pm 1$$

$$g_4''(y) = 6y \Rightarrow \begin{cases} g_4''(1) = 6 > 0 \Rightarrow f(2,1) = 0 \\ g_4''(-1) = -6 < 0 \Rightarrow f(2,-1) = 4 \text{ é um máximo} \end{cases}$$

Resta apenas calcularmos f nos vértices:

$$f(0,-2) = -2, \quad f(0,2) = 2, \quad f(2,-2) = 0, \quad f(2,2) = 4$$

Comparando todos os valores obtidos concluímos que assim, f atinge um

(*) Máximo: $\mathbf{x} = (2, -1)$ e $\mathbf{x} = (2, 2)$ com $f(\mathbf{x}) = 4$

(*) Mínimo: $\mathbf{x} = (1, 1)$ e $\mathbf{x} = (1, -2)$ com $f(\mathbf{x}) = -4$.

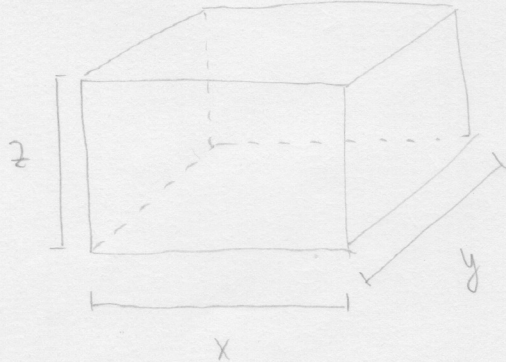
Exemplo 1.19: Quais as dimensões de uma caixa retangular sem tampa com volume 4m^3 com menor área superficial possível?

Solução: Precisamos encontrar o mínimo global da função:

$$A: D \subseteq \mathbb{R}^3 \rightarrow \mathbb{R}, \quad \mathbf{x} \mapsto A(\mathbf{x}) = 2xz + 2yz + xy$$

onde $D = \{ \mathbf{x} \in \mathbb{R}^3 \mid x, y, z > 0 \}$ tal que o volume

$$V = xyz = 4 \text{ seja satisfeita.}$$



Devido ao volume podemos eliminar a coordenada z , por

$$z = \frac{4}{xy}$$

e reduzir A a um campo escalar bidimensional

$$a: \tilde{D} \subseteq \mathbb{R}^2 \rightarrow \mathbb{R}, \quad \mathbf{x} \mapsto a(\mathbf{x}) = \frac{8}{y} + \frac{8}{x} + xy$$

$$\text{onde } \tilde{D} = \{ \mathbf{x} \in \mathbb{R}^2 \mid x, y > 0 \}$$

Como \tilde{D} é um aberto, todo mínimo é um ponto único, que determinaremos através do sistema $\nabla a = \mathbf{0}$, i.e.,

$$\begin{cases} \frac{\partial a}{\partial x} = -\frac{8}{x^2} + y = 0 \\ \frac{\partial a}{\partial y} = -\frac{8}{y^2} + x = 0 \end{cases}$$

Muja solução é $x = 2, y = 2$. Resta saber se esse ponto é de fato um mínimo:

$$H(x,y) = \det \begin{pmatrix} \frac{\partial^2 a}{\partial x^2} & \frac{\partial^2 a}{\partial x \partial y} \\ \frac{\partial^2 a}{\partial x \partial y} & \frac{\partial^2 a}{\partial y^2} \end{pmatrix} = \det \begin{pmatrix} 16x^{-3} & 1 \\ 1 & 16y^{-3} \end{pmatrix} = 256x^{-3}y^{-3} - 1$$

$$\Rightarrow H(2,2) = \frac{2^8}{2^6} - 1 = 4 - 1 = 3 > 0$$

$$\Rightarrow \frac{\partial^2 a}{\partial x^2}(2,2) = \frac{16}{8} = 2 > 0$$

Lego, $(2,2)$ é um mínimo local e global. De forma que as dimensões da caixa que minimizam a sua área superficial são

$$x = 2\text{m}, y = 2\text{m}, z = \frac{4}{2 \cdot 2} = 1\text{m}$$